

THYRATRON, gas filled tetrode
 THYRATRON, tétraode à gaz
 STROMTORRÖHRE, gasgefüllte Tetrode

Application: relay service, electronic timers, stabilized rectifiers, stabilization of A.C. output, in grid circuits of power thyratrons

Application: service de relais, dans des minuteries électroniques, dans des redresseurs stabilisés, stabilisation de puissance de sortie C.A., dans des circuits de grille des thyratrons de grande puissance

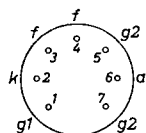
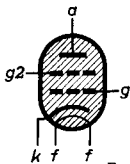
Anwendung: Bedienung von Relais, in elektronischen Zeitschaltern, in stabilisierten Gleichrichtern, Stabilisierung von Wechselstromleistung, in Gitterschaltungen von Stromtorröhren für hohe Leistung

Heating : indirect by A.C. or D.C. $V_f = 6,3 \text{ V} \pm 10\%$

Chauffage: indirect par C.A. ou C.C. $I_f = 600 \text{ mA}$

Heizung : indirekt durch Wechsel- oder Gleichstrom $T_w = 20 \text{ sec}^1)$

Dimensions in mm
 Dimensions en mm
 Abmessungen in mm



Base, culot, Sockel: MINIATURE

Socket Support Fassung 5909/36 Mounting position: arbitrary Montage : à volonté Einbau : willkürlich

Capacitances	$C_{g1} = 2,4 \text{ pF}$
Capacités	$C_a = 1,6 \text{ pF}$
Kapazitäten	$C_{ag1} = 0,026 \text{ pF}$

Net weight Poids net Nettogewicht	10 g	Shipping weight Poids brut Bruttogewicht	50 g
-----------------------------------	------	--	------

¹) If urgently wanted T_w may be decreased to min. 10 sec.
 Au besoin T_w peut être réduite jusqu'à 10 sec. au min.
 Falls dringend erforderlich darf T_w bis min. 10 Sek herabgesetzt werden

THYRATRON, gas filled tetrode

THYRATRON, térode à gaz

STROMTORRÖHRE, gasgefüllte Tetrode

Application: relay service, electronic timers, stabilized rectifiers, stabilization of A.C. output, in grid circuits of power thyratrons

Application: service de relais, dans des minuteries électroniques, dans des redresseurs stabilisés, stabilisation de puissance de sortie C.A., dans des circuits de grille des thyratrons de grande puissance

Anwendung: Bedienung von Relais, in elektronischen Zeitschaltern, in stabilisierten Gleichrichtern, Stabilisierung von Wechselstromleistung, in Gitterschaltungen von Stromtorröhren für hohe Leistung

Heating : indirect by A.C. or D.C. $V_f = 6,3 \text{ V} \pm 10\%$

Chauffage: indirect par C.A. ou C.C.

Heizung : indirekt durch Wechsel- oder Gleichstrom

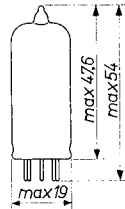
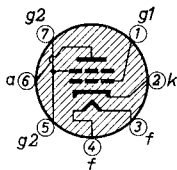
$I_f = 600 \text{ mA}$

$T_w = 20 \text{ sec}^1)$

Dimensions in mm

Dimensions en mm

Abmessungen in mm



Base, culot, Sockel: MINIATURE

→
Socket
Support
Fassung

Mounting position: arbitrary
Montage : à volonté
Einbau : willkürlich

Capacitances
Capacités
Kapazitäten

$C_{g1} = 2,4 \text{ pF}$
 $C_a = 1,6 \text{ pF}$
 $C_{ag1} = 0,026 \text{ pF}$

Net weight
Poids net
Nettogewicht

10 g

Shipping weight
Poids brut
Bruttogewicht

50 g

¹⁾ If urgently wanted T_w may be decreased to min. 10 sec.
Au besoin T_w peut être réduite jusqu'à 10 sec. au min.
Falls dringend erforderlich darf T_w bis min. 10 Sek herabgesetzt werden

Typical characteristics
Caractéristiques types
Betriebsdaten

$$\begin{aligned}T_{ion} &= 0,5 \mu\text{s}^1) \\T_{dion} &= 35 \mu\text{s}^2) \\T_{dion} &= 75 \mu\text{s}^3) \\V_{arc} &= 8 \text{ V}\end{aligned}$$

Critical grid current
Courant de grille critique $\left\{ \begin{array}{l} V_a = 460 \text{ V} \\ I_a = 0,1 \text{ A} \end{array} \right. \text{eff} \right\} = 0,5 \mu\text{A}$
Kritischer Gitterstrom

$$\frac{V_a}{V_{g1}} \text{ at striking point} \quad \left\{ \begin{array}{l} R_{g1} = 0 \text{ M}\Omega \\ V_{g2} = 0 \text{ V} \end{array} \right\} = 250$$

à l'allumage
bei Zündung

$$\frac{V_a}{V_{g2}} \text{ at striking point} \quad \left\{ \begin{array}{l} V_{g1} = 0 \text{ V} \\ R_{g1} = 0 \text{ M}\Omega \\ R_{g2} = 0 \text{ M}\Omega \end{array} \right\} = 1000$$

à l'allumage
bei Zündung

Operating characteristics for relay service
Caractéristiques d'utilisation pour service de relais
Betriebsdaten zur Bedienung von Relais

$V_{a\sim}$	=	117	400	V_{eff}
V_{g2}	=	0	0	V
$V_{g1\sim}$	=	5	-	$V_{eff}^4)$
$V_{g1\sim}$	=	-	-6	V
V_{g1_p}	=	5	6	V
R_a	=	1,2	2,0	k Ω
R_g	=	1,0	1,0	M Ω

1) $V_{a\sim} = 100 \text{ V}$

$I_{a_p} = 0,5 \text{ A}$

Grid over-voltage (square pulse)

Surtension de grille (impulsion carrée) = 50 V

Gitterüberspannung (rechteckiger Impuls)

2) $V_{a\sim} = 125 \text{ V}$

$-V_{g1} = 100 \text{ V}$

$R_g = 1 \text{ k}\Omega$

$I_a = 0,1 \text{ A}$

3) $V_{a\sim} = 125 \text{ V}$

$-V_{g1} = 10 \text{ V}$

$R_g = 1 \text{ k}\Omega$

$I_a = 0,1 \text{ A}$

4) Phase difference between V_{g1} and V_a approx. 180°

Différence de phase entre V_{g1} et V_a environ 180°

Phasenunterschied zwischen V_{g1} und V_a etwa 180°

Typical characteristics
Caractéristiques types
Kenndaten

$$\begin{aligned}T_{ion} &= 0,5 \mu\text{s}^1) \\ T_{dion} &= 35 \mu\text{s}^2) \\ T_{dion} &= 75 \mu\text{s}^3) \\ V_{arc} &= 8 \text{ V}\end{aligned}$$

Critical grid current
Courant de grille critique $\left\{ V_a = 460 \text{ V}_{eff}, I_a = 0,1 \text{ A} \right\} = 0,5 \mu\text{A}$
Kritischer Gitterstrom

$$\frac{V_a}{V_{g1}} \text{ at striking point} \quad \left\{ \begin{array}{l} R_{g1} = 0 \text{ M}\Omega \\ V_{g2} = 0 \text{ V} \end{array} \right\} = 250$$

$$\frac{V_a}{V_{g2}} \text{ at striking point} \quad \left\{ \begin{array}{l} V_{g1} = 0 \text{ V} \\ R_{g1} = 0 \text{ M}\Omega \\ R_{g2} = 0 \text{ M}\Omega \end{array} \right\} = 1000$$

Operating characteristics for relay service
Caractéristiques d'utilisation pour service de relais
Betriebsdaten zur Bedienung von Relais

$$\begin{aligned}V_{a\sim} &= 117 & 400 \text{ V}_{eff} \\ V_{g2} &= 0 & 0 \text{ V} \\ V_{g1\sim} &= 5 & - V_{eff}^4) \\ V_{g1\sim} &= - & -6 \text{ V} \\ V_{g1p} &= 5 & 6 \text{ V} \\ R_a &= 1,2 & 2,0 \text{ k}\Omega \\ R_{g1} &= 1,0 & 1,0 \text{ M}\Omega\end{aligned}$$

1) $V_{a\sim} = 100 \text{ V}$

$I_{a_p} = 0,5 \text{ A}$

Grid over-voltage (square pulse)

Surtension de grille (impulsion carrée) = .50 V
Gitterüberspannung (rechteckiger Impuls)

2) $V_{a\sim} = 125 \text{ V}$

$-V_{g1} = 100 \text{ V}$

$R_{g1} = 1 \text{ k}\Omega$

$I_a = 0,1 \text{ A}$

3) $V_{a\sim} = 125 \text{ V}$

$-V_{g1} = 10 \text{ V}$

$R_{g1} = 1 \text{ k}\Omega$

$I_a = 0,1 \text{ A}$

4) Phase difference between V_{g1} and V_a approx. 180°
Différence de phase entre V_{g1} et V_a environ 180°
Phasenunterschied zwischen V_{g1} und V_a etwa 180°

Limiting values for relay and grid-controlled rectifier service

Caractéristiques limites pour le service de relais et pour utilisation comme redresseur commandé par grille
Grenzdaten für Bedienung von Relais und für Gitterge-steuerte Gleichrichter

V_{ap}	= max.	650 V
$V_{a \text{ inv}_p}$	= max.	1300 V
$-V_{g2}$	= max.	100 V
$-V_{g2}$ ($T_{av} = \text{max. } 30 \text{ s}$)	= max.	10 V ¹⁾
$-V_{g1}$	= max.	100 V
$-V_{g1}$ ($T_{av} = \text{max. } 30 \text{ s}$)	= max.	10 V ¹⁾
I_{kp}	= max.	0,5 A
I_k ($T_{av} = \text{max. } 30 \text{ s}$)	= max.	0,1 A
I_{g2} ($T_{av} = \text{max. } 30 \text{ s}$)	= max.	0,01 A ³⁾
I_{g1} ($T_{av} = \text{max. } 30 \text{ s}$)	= max.	0,01 A
R_{g1}	= max.	10 MΩ
R_{g1}	= max.	1 MΩ ²⁾
V_{kfp} (k pos., f neg.)	= max.	100 V
V_{kfp} (k neg., f pos.)	= max.	25 V
V_f	= max.	6,9 V
V_f	= min.	5,7 V
I_{surge} ($T = \text{max. } 0,1 \text{ s}$)	= max.	10 A
t_{amb}	= max.	+90 °C
t_{amb}	= min.	-75 °C

Remark : It is not recommended to use the second grid as control electrode

Observation: Il n'est pas recommandé d'utiliser la seconde grille comme électrode de commande

Bemerkung : Es wird nicht empfohlen das zweite Gitter als Steuerelektrode zu verwenden

¹⁾Tube conductive
Tube conductif
Gezündete Röhre

²⁾Recommended value
Valeur recommandée
Empfohlener Wert

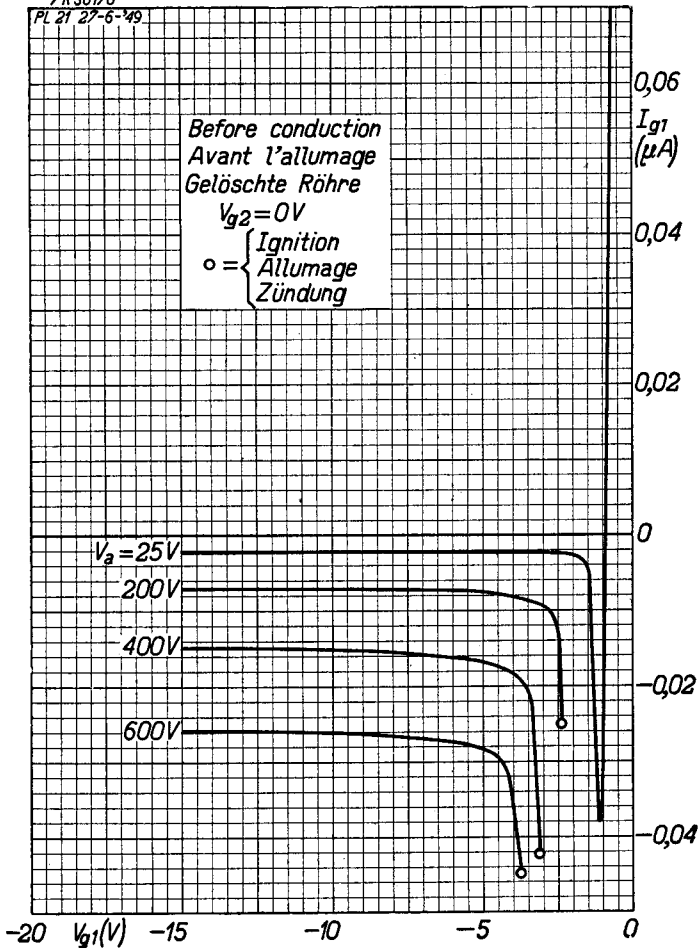
³⁾In order not to exceed this maximum value, it is recommended to insert a series resistor of 1000 Ω in the screen-grid lead

Afin de ne pas dépasser cette valeur maximum, il est recommandé d'insérer une résistance série de 1000 Ω dans la connection de la grille-écran

Damit dieser maximale Wert nicht überschritten wird, wird einen Serienwiderstand von 1000 Ω in der Schirm-gitterleitung empfohlen

7R30170

PL 21 27-6-49

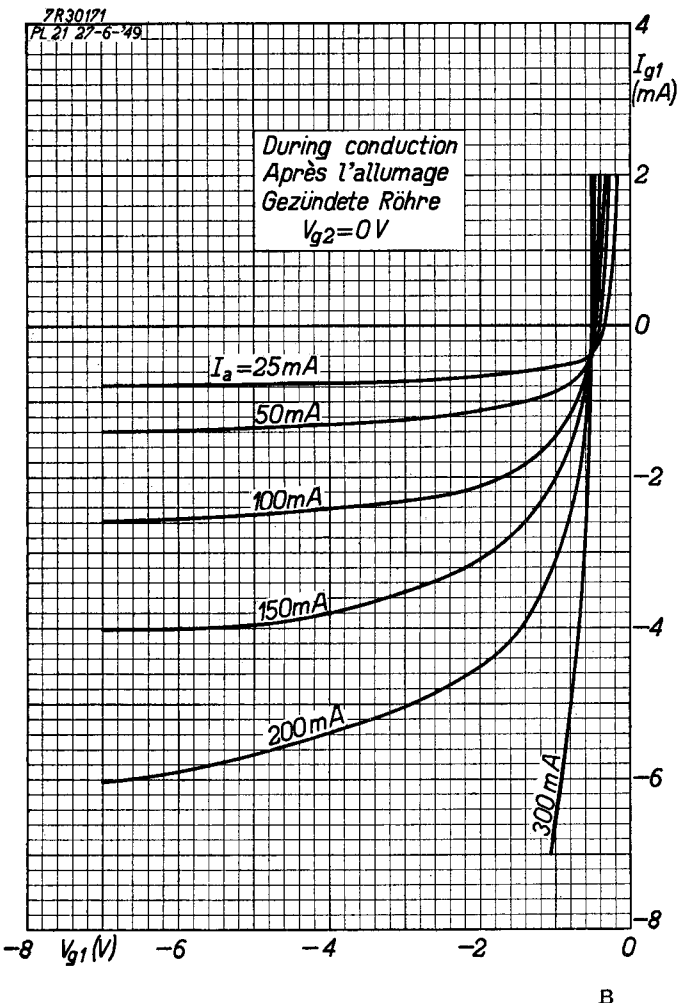
 $-20 \quad V_{g1}(V) \quad -15 \quad -10 \quad -5 \quad 0$

7.7.1954

A

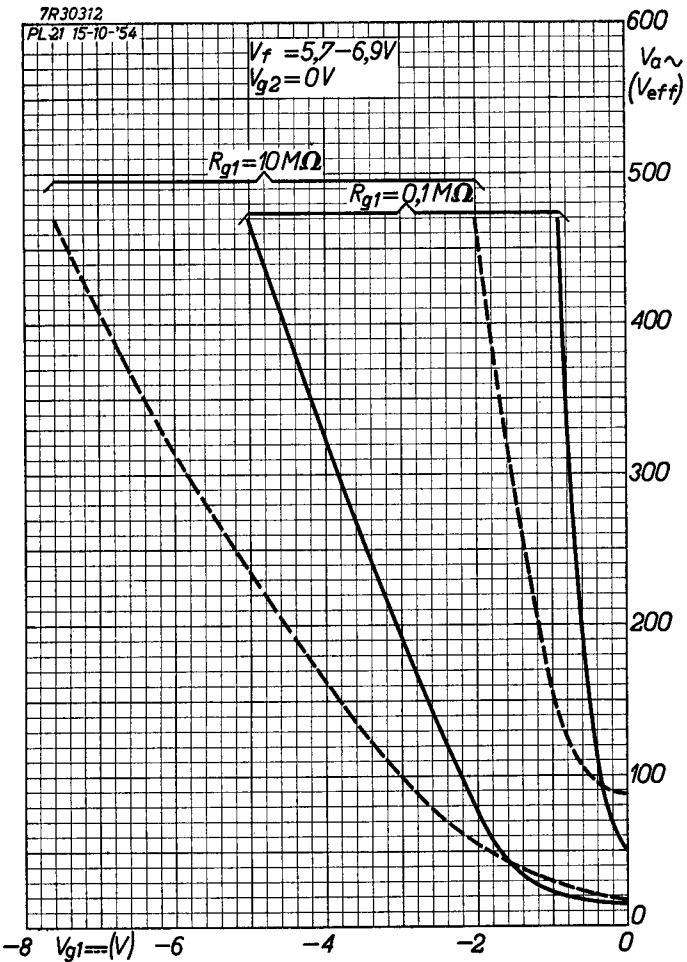
PL 2 D 21

PHILIPS



PHILIPS

PL 2D21

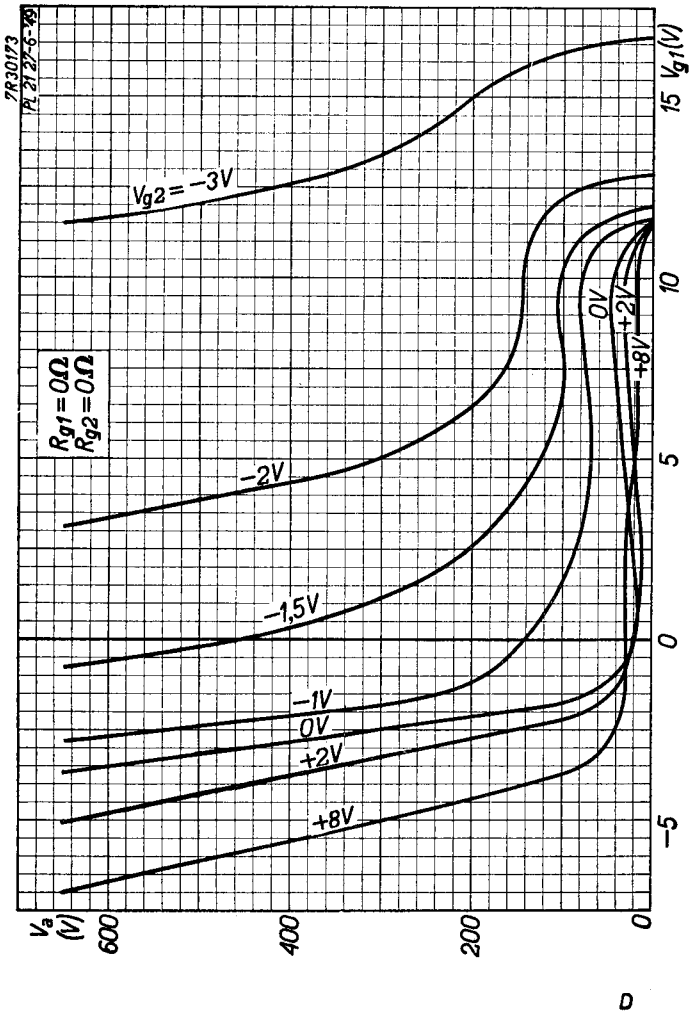


10.10.1954

C

PL 2 D 21

PHILIPS



PHILIPS

Electronic
Tube

HANDBOOK

PL2D21

page	sheet	date
1	1	1956.06.06
2	1	1959.09.09
3	2	1956.06.06
4	2	1959.09.09
5	3	1956.06.06
6	A	1954.07.07
7	B	1954.07.07
8	C	1954.10.10
9	D	1954.10.10
10	FP	2000.05.14